# Portfolioüberschneidung

## HAPI / LSAT

| Überschneidung | Gemeinsame Positionen |
|---|---|
| 1,37% | 4 |

## Harbor Human Capital Factor US Large Cap ETF

Bestandsdaten 31.01.2023 | 99,83% NAV

Überschneidung / HAPI 1,37%

## LeaderShares AlphaFactor Tactical Focused ETF

Bestandsdaten 31.01.2023 | 98,40% NAV

Überschneidung / LSAT 13,29%

## Größte gemeinsame Positionen

| Wertpapier | HAPI | LSAT | Überschneidung |
|---|---|---|---|
| S&P Global Inc | 0,73% | 3,32% | 0,73% |
| Valero Energy Corp | 0,36% | 3,39% | 0,36% |
| HP Inc | 0,18% | 3,19% | 0,18% |

Die Gewichte beziehen sich auf das Nettofondsvermögen. Für jede gemeinsame Stammaktienklasse wird das kleinere Gewicht verwendet. Die Gewichte bleiben unverändert, wenn Positionen keiner Aktie zugeordnet werden können.

# Verlauf




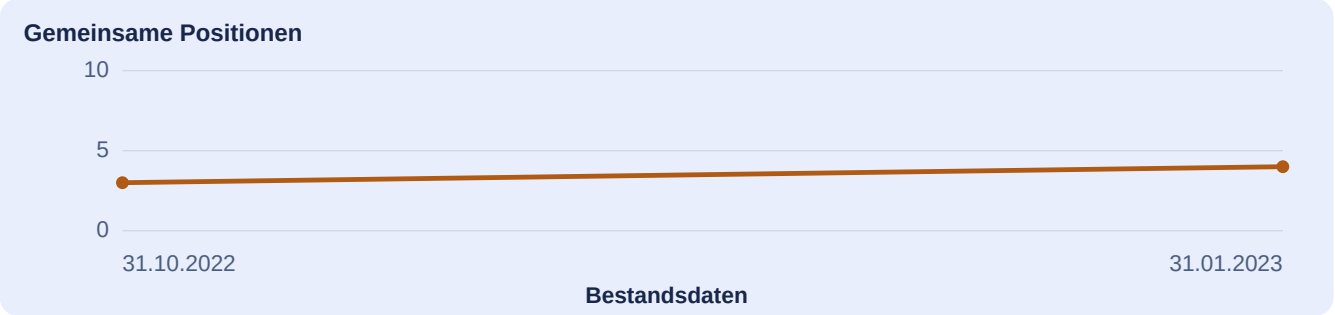


2 gemeinsame Stichtage vom 31.10.2022 bis 31.01.2023. Beide Meldungen beziehen sich auf denselben Stichtag. Der erfasste Anteil des Nettofondsvermögens beträgt mindestens 98,40 %. Die Meldungen gingen 59 bis 59 Tage nach dem Stichtag ein. Die genaue Uhrzeit der Veröffentlichung geht aus dem Archiv nicht hervor.

# Größte Veränderungen

31.10.2022 / 31.01.2023 +0,94 pp

| Wertpapier | Überschneidung 31.10.2022 | Überschneidung 31.01.2023 | Änderung (PP) |
|---|---|---|---|
| S&P Global Inc | 0,00% | 0,73% | +0,73 |
| Valero Energy Corp | 0,00% | 0,36% | +0,36 |
| CDW Corp/DE | 0,14% | 0,00% | -0,14 |
| Synchrony Financial | 0,11% | 0,11% | -0,0041 |
| HP Inc | 0,18% | 0,18% | -0,0022 |
| Übrige gemeinsame Aktienklassen | | | 0,00 |

# Quellen und Methode

Die Gewichte beziehen sich auf das Nettofondsvermögen. Für jede gemeinsame Stammaktienklasse wird das kleinere Gewicht verwendet. Die Gewichte bleiben unverändert, wenn Positionen keiner Aktie zugeordnet werden können.

nport-common-equity-v1

| Bestandsdaten | Gewicht (%) | Klassen | HAPI · SEC | LSAT · SEC |
|---|---|---|---|---|
| 31.01.2023 | 1,37% | 4 | 0001752724-23-075628 | 0001752724-23-075620 |
| 31.10.2022 | 0,43% | 3 | 0001752724-22-297744 | 0001752724-22-297340 |